

УДК 541.123.2

ВЗАИМОДЕЙСТВИЕ В ДВОЙНЫХ ИОДИДНЫХ СИСТЕМАХ ЭВТЕКТИЧЕСКОГО ТИПА

© 2005 г. В.Ф. Селеменев, В.Н. Чиканов

Воронежский государственный университет

На основе экспериментальных данных термического анализа рассмотрен ряд факторов, влияющих на взаимодействие иодидов. Иодиды распределены по валентности и расположены по возрастанию поляризующего действия катионов. Проведен анализ отклонений ликвидуса реальных иодидных систем эвтектического типа от идеальных. Во многих эвтектических системах отмечается комплексообразование в расплаве, склонность к расщеплению и образование ограниченных твердых растворов.

Данные термического анализа позволяют судить о наличие взаимодействия между компонентами. Авторами [1-7] приведены критерии, используемые для этой оценки. Цель настоящей работы рассмотреть развитие двойных иодидных систем эвтектического типа и выявить факторы, влияющие на взаимодействие иодидов.

Для оценки взаимодействия иодидов нами были определены отклонения экспериментальной кривой ликвидуса от идеальной: $\Delta C_1 = C_{\text{ид}(2)} - C_{\text{эксп}(2)}$ и $\Delta C_2 = C_{\text{ид}(1)} - C_{\text{эксп}(1)}$, где $C_{\text{ид}}$ – концентрация иодида в эвтектической точке, рассчитанная по уравнению Шредера, мол.%; $C_{\text{эксп}}$ – экспериментальное значение концентрации иодида в эвтектической точке [10-15], мол.%. Индексы 1 и 2 относятся соответственно к первому и второму компоненту. При положительных значениях ΔC фактический ликвидус расположен ниже расчетного, при отрицательных – выше. Были рассчитаны отношения эффективных ионных радиусов катионов r_m/r_b и отношения поляризующего действия катионов ϕ_b/ϕ_m . Индексы m и b относятся соответственно к катионам с меньшим и большим значением указанных параметров.

На рисунке приведены типы двойных диаграмм плавкости по данным [8-13], а для эвтектических систем указаны отклонения (если они рассчитывались) от идеальной эвтектики. Иодиды сгруппированы по валентности и расположены по возрастанию поляризующего действия катионов (ПДК), которое определяли как отношение суммы потенциалов ионизации $\sum I_n$ к эффективному ионному радиусу r и заряду катиона n : $\varphi = (\sum I_n / (n \cdot r)) \cdot 10^{-10}$, Дж/м. Значение потенциалов ионизации и эффективные ионные радиусы взяты из [14].

В таблице 1 приведены диаграммы плавкости систем с эвтектикой близкой к расчетной. Отклоне-

ние ликвидуса реального от идеального не превышает ± 4 мол.%. Для них характерно различие структурных типов компонентов, отношение поляризующего действия катионов не превышает 1,9, а эффективные ионные радиусы катионов изменяются в широком диапазоне от 0,74 до 1,00 нм.

В таблице 2 представлены эвтектические диаграммы плавкости с положительным отклонением экспериментального ликвидуса от идеального более чем на 10 мол.%. Для них предполагается наличие комплексообразования в расплаве. Отношение эффективных ионных радиусов изменяется в широком диапазоне ($r_m/r_b = 0,51 - 0,94$). • большинстве этих систем отношение ПДК более 2,0, а максимальное значение отмечается для $KI-MgI_2$ ($\phi_b/\phi_m = 5,0$). В этой же системе и наибольшее положительное отклонение ликвидуса ($\Delta C_1 = 52,0$ мол.%, $\Delta C_2 = 28,0$ мол.%). Для систем $AgI(NaI)-TeI_4$ отношение ПДК превышает 4,0, но отклонение ликвидуса фактического от идеального менее 20 мол.%. Это является следствием влияния неподеленной электронной пары у Te^{4+} , а в системе $AgI-TeI_4$, кроме того, на основе AgI ($\Delta C_1 = -29,0$ мол.%) возможна микрогетерогенность расплава.

В эвтектической системе $AgI-CoI_2$ экспериментальная кривая ликвидуса первого компонента находится выше идеальной $\Delta C_1 = -32,0$ мол.%. Отношение эффективных ионных радиусов катионов $r_m/r_b = 0,69$, а отношение ПДК $\phi_b/\phi_m = 2,4$. Полагаем, что в данной системе на основе AgI возможно образование ограниченных твердых растворов, так как природа расплава исходных компонентов весьма близка. Возможно образование ограниченных твердых растворов в системе $NaI-AgI$ (таблица 2) на основе AgI ($\Delta C_2 = -19,0$ мол.%).

В таблице 3 приведены диаграммы плавкости

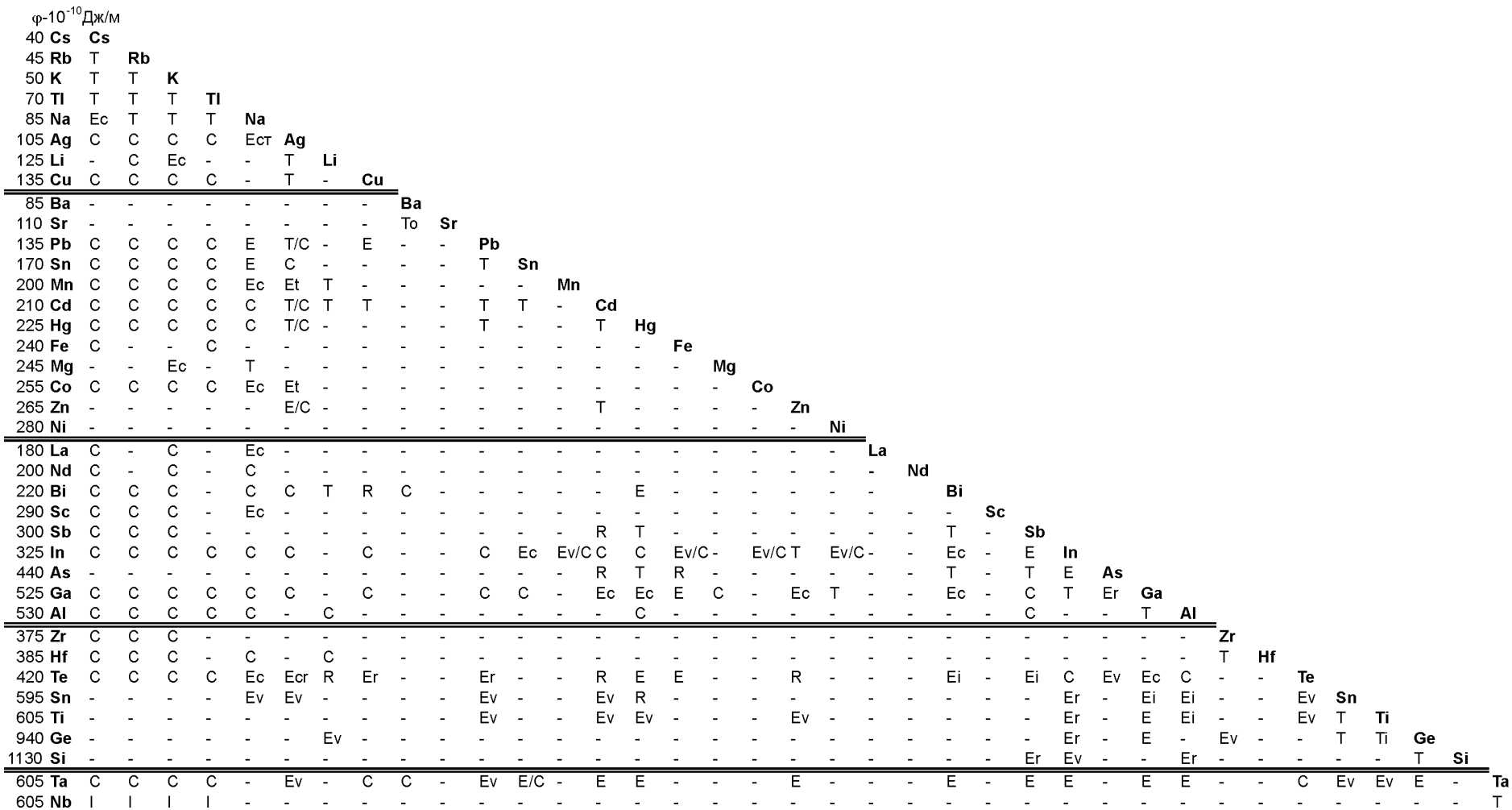


Рис. 1. С – соединение на диаграмме плавкости; 2. /С – соединение в твердой фазе; 3. Е_и – эвтектика, близкая к идеальной; 4. Е – эвтектика с отклонением ликвидуса до 10 мол.% или отклонения не рассчитывались; 5. Е_в – “вырожденная” эвтектика; 6. Е_с – эвтектика с предполагаемым комплексообразованием в расплаве; 7. Е_т – эвтектика с предполагаемым образованием ограниченных твердых растворов; 8. Е_г – эвтектика с предполагаемым расслаиванием в расплаве; 9. Е_{ср} – эвтектика с предполагаемым комплексообразованием и расслаиванием в расплаве; 10. Р – расслаивание расплава; 11. Т – твердые растворы; 12. І – взаимодействие компонентов происходит с выделением иода.

ВЗАИМОДЕЙСТВИЕ В ДВОЙНЫХ ИОДИДНЫХ СИСТЕМАХ ЭВТЕКТИЧЕСКОГО ТИПА

эвтектического типа с отрицательным отклонением ликвидуса от рассчитанного по уравнению Шредера для первого компонента более чем на 10 мол.% ($\Delta C_1 < -10$ мол.%). Для этих систем вероятна микрогетерогенность расплава. Отношение ПДК – менее 4,0, а отношение эффективных ионных радиусов катионов составляет $\leq 0,86$. Расплавы, приведенных иодидов, достаточно сильно различаются по своему характеру. В системах с участием TeI_4 склонность к расслаиванию, по-видимому, связана с наличием у Te^{4+} неподеленной электронной пары. Как уже отмечалось выше, в системе $\text{AgI}-\text{TeI}_4$ наблюдаются

положительные отклонения ликвидуса второго компонента от идеального ($\Delta C_2 = 20,0$ мол.%), что свидетельствует о комплексообразовании в расплаве. В этой же системе имеется и наибольшее значение ПДК $\phi_b/\phi_m = 4,0$. Наличие неподеленной электронной пары у Sb^{3+} и As^{3+} так же оказывается на склонности к расслаиванию расплавов с их участием. Наибольшая микрогетерогенность расплава отмечается в системе $\text{AlI}_3-\text{SiI}_4$ ($\Delta C_1 = -36,0$ мол.%). В данном случае, компоненты имеют молекулярную природу, а склонность к расслаиванию связана с различием размеров молекул и их формой: в расплаве присутствуют

Таблица 1
Диаграммы плавкости с эвтектикой близкой к расчетной

Система	ΔC_1 , мол.%	ΔC_2 , мол.%	r_m/r_b	ϕ_2/ϕ_1	Структурный типа
$\text{BiI}_3-\text{TeI}_4$	2.0	0.0	0.74	1.9	$\text{BiI}_3-\text{TeI}_4$
$\text{SbI}_3-\text{TeI}_4$	-4.0	3.0	1.00	1.4	$\text{SbI}_3-\text{TeI}_4$
$\text{GaI}_3-\text{SnI}_4$	2.0	-1.0	0.92	1.2	$\text{GaI}_3-\text{TiI}_4$
$\text{AlI}_3-\text{SnI}_4$	-3.0	-4.0	0.86	1.2	$\text{AlI}_3-\text{TiI}_4$
$\text{AlI}_3-\text{TiI}_4$	2.0	1.0	0.89	1.1	$\text{AlI}_3-\text{TiI}_4$

Таблица 2
Диаграммы плавкости эвтектического типа с положительным отклонением ликвидуса от идеального более чем на 10 мол.%

Система	ΔC_1 , мол.%	ΔC_2 , мол.%	ϕ_b/ϕ_m	r_m/r_b
$\text{NaI}-\text{AgI}^*$	19.0	-19.0	1.2	0.87
$\text{CsI}-\text{NaI}$	17.0	7.0	2.2	0.59
$\text{KI}-\text{LiI}$	25.0	21.0	2.5	0.51
$\text{NaI}-\text{MnI}_2$	28.0	-	2.4	0.93
$\text{NaI}-\text{CoI}_2$	41.0	-	3.0	0.80
$\text{KI}-\text{MgI}_2$	52.0	28.0	5.0	0.56
$\text{GaI}_3-\text{TeI}_4$	9.0	11.0	1.2	0.70
$\text{BiI}_3-\text{InI}_3$	4.0	32.0	1.4	0.77
$\text{ZnI}_2-\text{GaI}_3$	26.0	23.0	1.9	0.75
$\text{NaI}-\text{LaI}_3$	28.0	-	2.1	0.94
$\text{BiI}_3-\text{GaI}_3$	27.0	17.0	2.3	0.52
$\text{HgI}_2-\text{GaI}_3$	0.0	31.0	2.3	0.55
$\text{CdI}_2-\text{GaI}_3$	2.0	12.0	2.4	0.63
$\text{SnI}_2-\text{InI}_3$	-	58.0	2.5	0.90
$\text{NaI}-\text{ScI}_3$	17.0	-	3.4	0.85
$\text{AgI}-\text{TeI}_4^{**}$	-29.0	20.0	4.0	0.79
$\text{NaI}-\text{TeI}_4$	11.0	1.0	4.9	0.91

* В системе возможно образование ограниченных твердых растворов на основе AgI ; ** В системе вероятно микрорасслаивание расплава на основе AgI .

Таблица 3

Диаграммы плавкости эвтектического типа с отрицательным отклонением ликвидуса от идеального более чем на 10 мол.%

Система	ΔC_1 , мол.%	ΔC_2 , мол.%	r_m/r_b	Φ_b/Φ_m	Характеристика расплава
InI ₃ -SnI ₄	-11.0	-12.0	0.73	1.9	молекулярный – молекулярный (димеры)
SbI ₃ -SiI ₄	-15.0	-	0.43	3.8	полярный – молекулярный
InI ₃ -GeI ₄	-18.0	-	0.48	3.2	молекулярный – молекулярный (димеры)
CuI-TeI ₄	-25.0	2.0	0.86	3.1	ионно-ковалентный – слабо полярный
AsI ₃ -GaI ₃	-27.0	10.0	0.90	1.1	слабо полярный – молекулярный (димеры)
PbI ₂ -TeI ₄	-29.0	1.0	0.71	3.0	сильно полярный – слабо полярный
AgI-TeI ₄	-29.0	20.0	0.79	4.0	ионно-ковалентный – слабо полярный
AlI ₃ -SiI ₄	-36.0	-	0.68	2.1	молекулярный – молекулярный (димеры)

ют димеры Al₂I₆ и мономеры SiI₄. Подобное отмечается и для систем InI₃-Sn(Ga)I₄.

Как видно из рисунка систем близких к идеальным не много. В большинстве эвтектических диаграмм плавкости наблюдаются отклонения ликвидуса фактического от рассчитанного по уравнению Шредера. При положительных отклонениях $C_{ид} > C_{эксп}$ в расплаве имеет место комплексообразование. При отрицательных отклонениях $C_{ид} < C_{эксп}$ в системах имеет место тенденция к образованию ограниченных твердых растворов или микрогетерогенность расплава.

СПИСОК ЛИТЕРАТУРЫ

1. Федоров П.П., Федоров П.И. // Журн. неорган. химии. 1973. Т.18. С.205.
2. Конов А.В., Закгейм А.Ю., Дробот Д.В., Сафонов В.В. // Журн. неорган. химии. 1976. Т.21. С.2205.
3. Чиканов Н.Д. // Журн. неорган. химии. 1978. Т.23. С.146.
4. Чиканов Н.Д. // Журн. неорган. химии. 1978. Т.23. С.2596.
5. Чиканов Н.Д. // Журн. неорган. химии. 1981. Т.26. С.752.
6. Витинг Л.М. Высокотемпературные растворы – расплавы. Изд-во Московского университета, 1991. 221 с.
7. Годовиков А.А. // Журн. неорган. химии. 1993. Т.38. С.1468.
8. Коршунов Б.Г., Сафонов В.В., Дробот Д.В. Диаграммы плавкости галогенидных систем переходных элементов. М.: Металлургия, 1977. 248 с.
9. Коршунов Б.Г., Сафонов В.В., Дробот Д.В. Фазовые равновесия в галогенидных системах. М.: Металлургия, 1979. 182 с.
10. Коршунов Б.Г., Сафонов В.В. Галогенидные системы. М.: Металлургия, 1984. 303 с.
11. Коршунов Б.Г., Сафонов В.В. Галогениды. М.: Металлургия, 1991. 288 с.
12. Диаграммы плавкости солевых систем. Справочник (под ред. Посытайко В.И., Алексеева Е.А.). Часть 1-2. М.: Металлургия, 1977.
13. Чиканов Н.Д. Фазовые равновесия в системах TaI₅-M_n (M – Ag⁺, Cu⁺, Pb²⁺, Sn²⁺, Hg²⁺, Cd²⁺, Zn²⁺, Bi³⁺, In³⁺, Ga³⁺, Al³⁺, Te⁴⁺) // Деп. в ОНИИТЭХИМ г. Черкассы 21.03.90. №214-хп 90.
14. Свойства неорганических соединений. Справочник (под ред. Ефимова А.И.). Л.: Химия. 1983. 392 с.